

III-121 広い拘束圧範囲における變形岩の動せん断剛性率と減衰比

電力中央研究所 面 好一 東電設計(株) ○伊野清彦

[1] まえがき

軟質岩盤上に大型構造物が建設される機会が増大し、かつ想定地震入力が大きなものとなってきた。岩盤の地震時挙動は、岩盤中に存在する節理、層理及び断層破碎帶により大きく影響されるものと考えられるが、想定地震入力が大きい場合、岩石の動的変形特性に及ぼす諸々の要因分析や非線形性状などの詳細な把握が必要となる。本研究は広い拘束圧範囲の下で變形岩を対象とした動的変形試験を実施し、岩石の動せん断剛性率と減衰に及ぼす初期軸差応力、拘束圧及びひずみレベル依存性について述べたものである。

[2] 実験装置、試料及び方法

用いた実験装置は油圧サボ型の振動三軸圧縮試験装置であり、軸荷重及び側圧の負荷能力はそれぞれ15ton 及び 100 kgf/cm^2 である。また、変形試験における荷重及び変位の検出は三軸セル内に設置した荷重計(3ton)及び非接触型変位計($\pm 1\text{ mm}$)を用いて行った。実験に用いた試料は岩岩塊混じる變形岩、變形岩、輕石變形岩のみ種類であり、以下ではこれらをTm、Tf及びTpと略称する。これらの物理特性と一軸圧縮強度を表-1に示す。なお、せん断剛性率(G)と減衰比(%)の算出は繰り返し回数N=10回目のデータを用いて行った。採用した周波数は1Hzである。

表-1 物理特性及び一軸圧縮強度

	Tm	Tf	Tp
$\gamma_t (\text{gf/cm}^2)$	2.02	1.99	1.87
$\gamma_d (\text{gf/cm}^2)$	1.63	1.59	1.44
$w (%)$	24.7	26.1	27.9
一軸圧縮強度 (kgf/cm ²)	129	169	50.3

[3] 実験結果との考察

図-1及び図-2に $\gamma = 1 \times 10^{-5}\text{ cm}$ のGと軸方向応力(σ_1)の関係を示した。図中の(○,●,△,▲)は各拘束圧条件において初期軸差応力を負荷して行ったものであり、(□,■)は第3方応力条件における試験結果をプロットしたものである。なお(①)は単調載荷試験で得られた応力へひずみ関係に基づき各応力レベルごとの接線勾配より求めたGと σ_1 の関係を示している。この図から微小ひずみ時のGは第3方応力及び軸差応力負荷条件に関わらず軸方向応力のみの関係として与えられることが判かる。また、静的な応力へひずみ関係から求められたGと σ_1 の関係もほぼ同一の勾配を示しており、いずれの岩石においても振動載荷により求められたGより低い値を示すことが判かる。いすれにしても、試験条件に依らずGは拘束圧及び初期軸差応力依存性を示すが、その係数の度合いは σ_1 よりもはるかに大きいことなどが判明できることが示された。一方、Gと σ_1 との関係を考慮し、先に対しても σ_1 との関係で整理したのが図-3及び図-4である。ただし、 $\sigma_1 = 5 \times 10^{-5}\text{ cm}$ での値を採用している。この図に依れば、 σ_1 において $\sigma_1 = 20\text{ kgf/cm}^2$ から一定になる傾向が見られ、その傾向をもってほぼ2%の値が得られた。また、Tpにおいても $\sigma_1 = 20\text{ kgf/cm}^2$ から一定になる傾向を示すが、一軸強度が若干高いTpと比較して大きくなる(5%)の値が示されている。なお、 σ_1 が 20 kgf/cm^2 より低い場合には σ_1 の増大に伴ない G が減少していく傾向が見られる。そこで、これらのGとの相関性を調べるために図-5を準備した。この図は $\gamma = 1 \times 10^{-5}\text{ cm}$ でのGとの関係を示したものである。この図に依れば、Gが $2 \times 10^4\text{ kgf/cm}^2$ より大きい場合に σ_1 の変化があまり見られない、下限値としてほぼ2%の値を示しているが、それより小さくなると σ_1 は急速に増加していく傾向が示されている。また、この傾向は、いずれの岩石においても同様であり、微小ひずみにおけるGとの関係は図中に示した実線によってほぼ表示することができるようである。

用いた岩石のGと σ_1 に及ぼすひずみレベル依存性を示すために実験結果の一例として図-6を準備した。図で、Gと σ_1 の関係を見ると $\gamma = 5 \times 10^{-4}\text{ cm}$ 付近からGの低下が見られるに對して、 σ_1 は σ_1 の増大に依っても、それほど大きな影響を受けないことがわかる。より大きなひずみレベルでの実験により破壊する必要はあるが、脆性材料である岩石が示す減衰特性の大きな特徴の一つであろう。

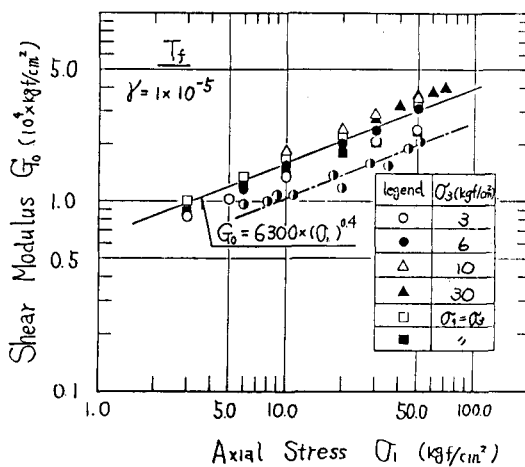


図-1 G と O_i の関係 (T_f)

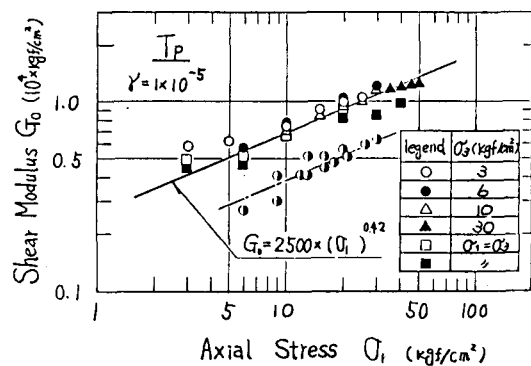


図-2 G と O_i の関係 (T_p)

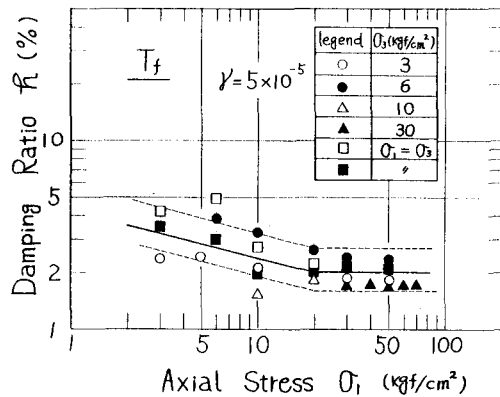


図-3 r と O_i の関係 (T_f)

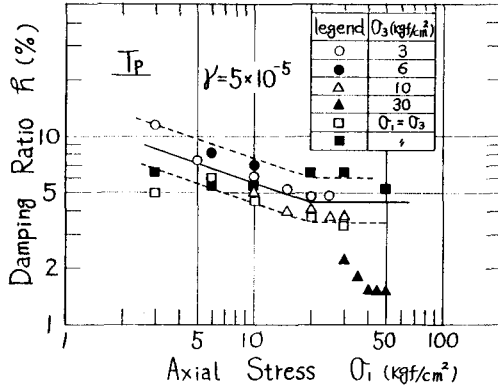


図-4 r と O_i の関係 (T_p)

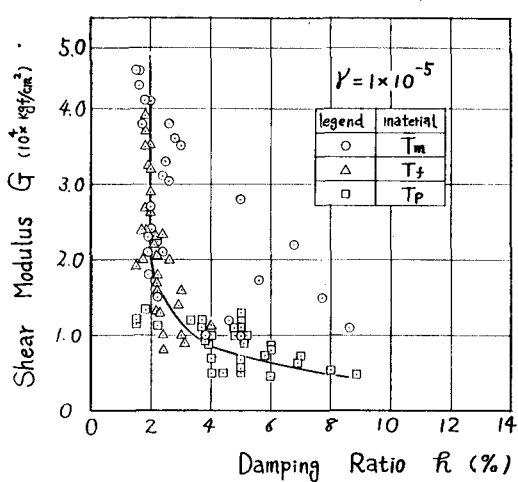


図-5 G と r の関係

参考文献

- 1) 西、江刺、宇野；広い拘束圧範囲における變成岩の動せん断剛性率、第17回土質工学研究発表会講演概要集、1982。

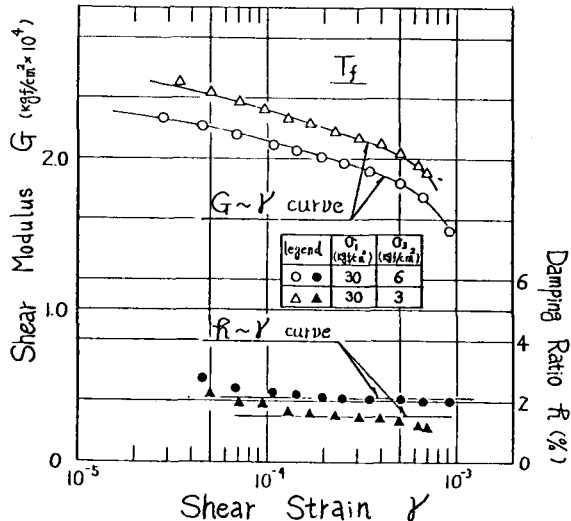


図-6 G ～ γ と r ～ γ の関係 (T_f)